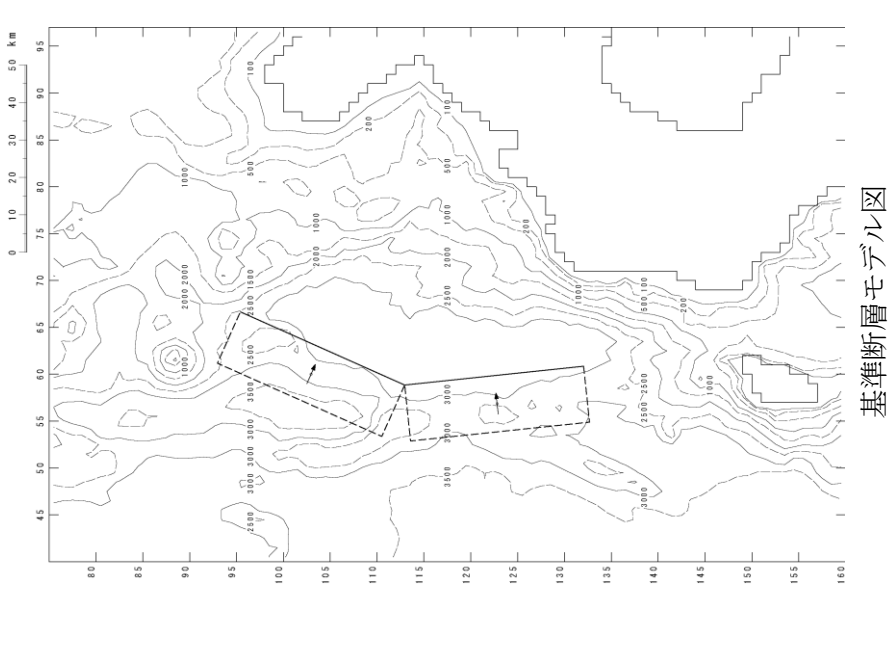
① 基準断層モデルの設定

(1) F_B-2断層を対象とし、地質調査結果より断層位置、断層長さ、 走向、傾斜方向を設定した。地質 調査結果による断層長さは101km であるが、モデル上では北断層 48km及び南断層 48km, 計 96kmで 設定した。



(2) 基準断層モデル

_	(4) 倒计到1厘 (/ / /			
	断層パラメータ	A	F _B 一2断層	備考
	ξ - λ	$ m M_W$	29.2	武村(1998) ⁽²⁹⁾ に基づくスケーリ ング則により設定した。
	断層長さ	L	$96 \text{km} (48 \text{km} \times 2)$	地質調査結果より設定した。
		W	21.21km	地震発生層の厚さ (15km) と傾斜 角により設定した。
	すべり量	D	m29.3	M _w , L, Wにより設定した。
	断層面上縁深さ	q	0km	
	走向	θ	北断層 204° 南断層 174°	地質調査結果より, 西側傾斜の逆 断層と設定した。
	傾斜角	8	.45°	日本海東縁部の傾斜角 30~60°より設定した。
	すべり角	7	。06	

スタボ ¥ × パプ (N)

- (1) はじめに,傾斜角とすべり角を組み合わせた 9 ケースの数値シミュレーションを行い,水位上昇及び水位下降に関しての各々の最大ケースを抽出した。(2) 次に(1) で得られた最大ケースについて, 断層面上縁深さ 3 ケースの数値シミュレーションを実施した。

(1) 概略パラメータスタディ結果

#] 7 !!	# 7 E &		計算水位	K位 (m)
(~ 一 ~) 項目	次ノケーク変動範囲	ケース数	(最大水位上昇量	最大水位下降量(3号機取水口)
頃斜角	$30, 45, 60^{\circ}$	3		-3.20
すべり角	75, 90, 105°	3	6	\rightarrow -3.21

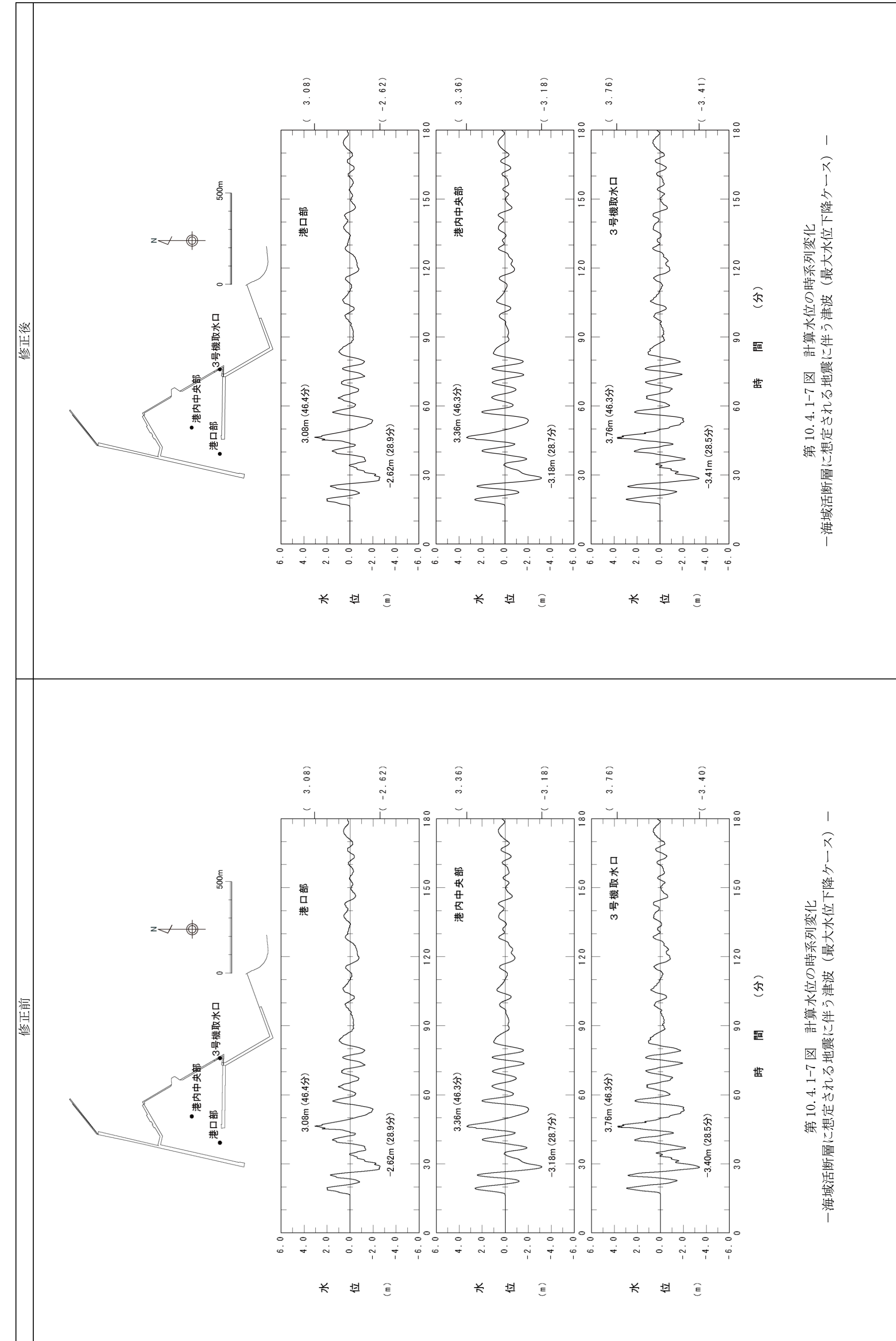
(2) 詳細パラメータスタディ結果

1 <u>7</u> (m)	最大水位下降量 (3号機取水口)	-2.65	-3.40 $\rightarrow -3.41$				
		+6.24	+4.65				
	ケース数	9 1					
	7	w × v					
カーフェッ	次ノケーク変動範囲	0, 2.5, 5km					
ガーフにご	グーンへ	イ 別帯コ 児 超 児	<u>I</u> II				
	公区	概略最大水位 上昇ケース	概略最大水位 下降ケース				

評価結果 <u>(m</u>

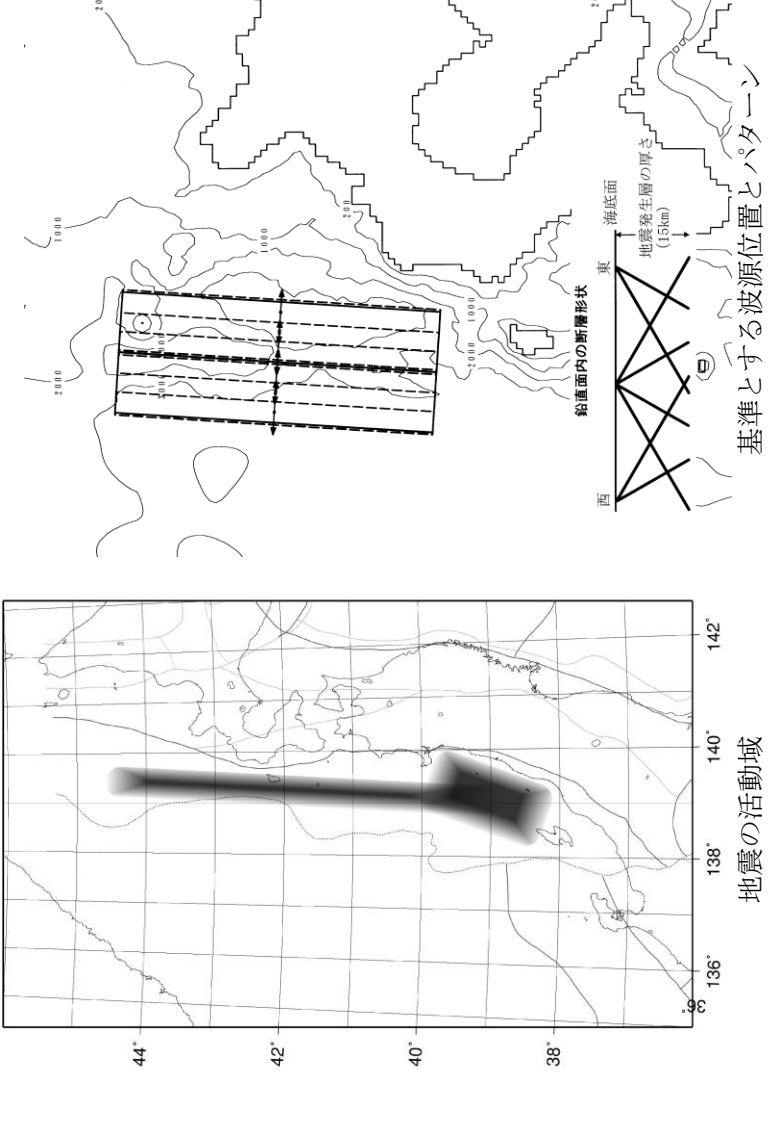
詳細パラメータスタディ後の最大水位上昇量・最大水位下降量

	断層パラメータの概要	計算値 (m)
最大水位 上昇量	傾斜角 8 = 60°, すべり角 3 = 90°, 断層面上縁深さ d = 5km としたケース	+6.24
最大水位 下降量	傾斜角 8 = 30°, すべり角 2 = 90°, 断層面上縁深さ d = 5km としたケース	-3.40 $\rightarrow -3.41$



基準断層モデルの設定 Θ

- (1) モーメントマグニチュード M_w : 1993 年北海道南西沖地震の津波を再現する波源モデルの M_w が
- 7.84 であることから,これを下回らないように $M_{\rm w}=7.85$ に設定した。
 (2) 波源位置:日本海東縁部に位置する東西幅 $50{\rm km}$ の帯状の発生海域を想定し,東西方向位置と傾斜角及び傾斜方向によって 8 つのパターンを設定した。南北方向の位置については,断層中心が敷地に正対する位置を基準とした。



	備考	1993年北海道南西沖地震の津波を再現する
	日本海東縁部	7.85
基準断層モデル	断層パラメータ	$-\lambda \lambda \lambda \nabla \lambda = -\lambda - \lambda \nabla \lambda \nabla \lambda \nabla \lambda$

		備考	1993年北海道南西沖地震の津波を再現するモデルの	$oxed{ { m Mw}}$ (7.84) を下回らないように設定した。	武村 (1998) (29) に基づくスケーリング則により設定	した。	地震発生層の厚さ (15km) と傾斜角により設定した。	Mw, L, W により設定した。		海底地形の特徴により西傾斜と東傾斜の 2 通りを設	定した。		
基準断層モデル 断層ペラメータ F-パパゲニュード Mw 新層長さ L 新層幅 W ずべり量 D 表向 0 資料角 8 可給角 2 すべり角 2 すべり角 2		日本海東縁部	7.85		131.1 km		30, 17.3 km	5.45, 9.45 m	0 km				$^{\circ}06$
基準断層モラダー 断層パラダー F-火トウゲニチュート 断層 極 すべり量 新層 面上縁深さ 走向 すべり角 すべり角	1/2.	4-	$ ightharpoons M_{ m W}$		Т		W	D		θ		δ	γ
	基準断層モラ	断層パラメー	モーメントマク゛ニチュート		断層長さ		断層幅	すべり量	断層面上縁深さ	走向		傾斜角	すべり角

タスタデ × **(N)**

- (1) はじめに位置 (南北方向とパターン) と走向を組み合わせた 216 ケースの数値シミュレーションを行い,水位上昇及び水位下降に関しての各々の最大ケースを抽出した。(上昇側 1 ケース、下降側 2 ケース)(2) 次に(1)で得られた最大ケースについて,傾斜角と断層面上縁深さを組み合わせた 27 ケースの数値シミュレー
 - ションを実施した。

給無
タディ
- 4 X
ンメト
概略が
(1)

	#] 77 %		計算	計算水位 (m)
パラメータ項目	次・イベーグ変動範囲	ケース数	最大水位上昇量	最大水位下降量 (3 号炉取水口)
a)南北方向位置	基準,南に 10,20 km, 北に 10,20,30,40,50, 60 km 移動	6		-5.59
b) 東西方向位置	8パターン	8	+9.48	5.60 $(-5.57*)$
c) 走向	基準, 土10°	3		

(2) 詳細パラメータスタディ結果

*最大水位下降ケースと同等と考え抽出

		パラメータ			計算力	計算水位 (m)
区分	パラメータ項目	変動範囲	ケース数	ス数	最大水位上昇量	最大水位下降量
						(3号機取水口)
概略最大水位	a) 傾斜角	$45, 52.5, 60^{\circ}$	3	0 7=	14 M	OO 14
上昇ケース	b) 断層面上縁深さ	0, 2.5, 5km	3	<u>π</u>	\ 3.00	00.6
概略最大水位	a) 傾斜角	$45, 52.5, 60^{\circ}$	3×2	01年	0 7 7	<i>30 3</i> —
下降ケース	b) 断層面上縁深さ	0, 2.5, 5km	3×2	ві 10	T 1.04	- 0.00

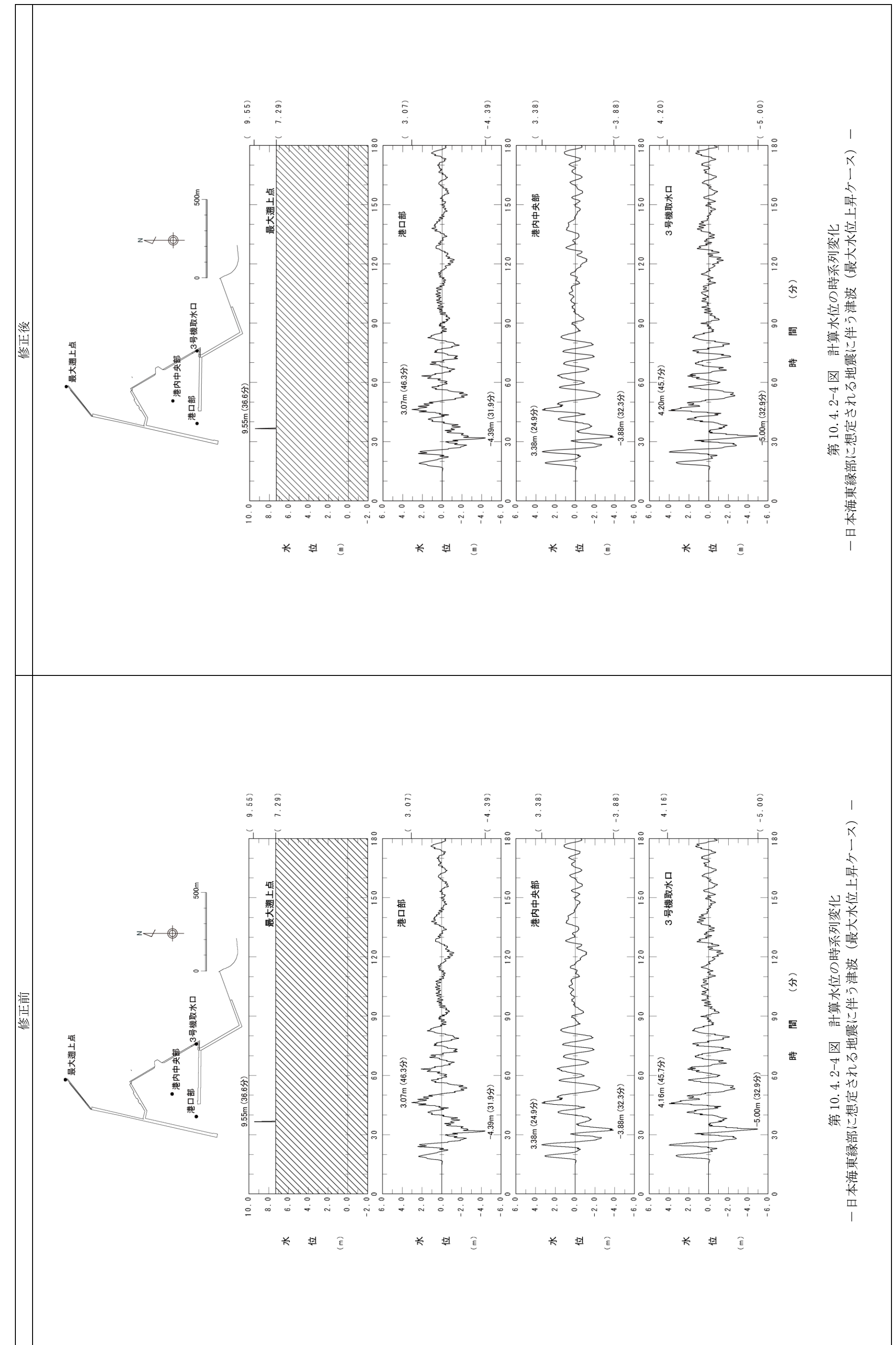
評価結果 <u>ල</u>

	計算値 (m)	+9.55	90.9—
詳細パラメータスタディ後の最大水位上昇量・最大水位下降量	断層パラメータの概要	: 東西方向中央, 東傾斜の W=17.3km の断層を北へ 20km 移動, 走向を基準とし, さらに傾斜角 8 = 52.5°, 断層面上縁深さ d=0km としたケース	: 東西方向東端, 西傾斜の W=17.3km の断層を南へ 10km 移動, 走向を基準とし, さらに傾斜角 δ =45°, 断層面上縁深さ d=2.5km としたケース
		最大水位 上昇量	最大水位 下降量

を考慮 及び朔望平均干潮位 (-0.14m) ・最大水位上昇量及び最大水位下降量に,それぞれ朔望平均満潮位(+0.26m) した水位に対して、機器等の安全性を評価する。

日本海東縁部に想定される地震に伴う津波の検討結果 第 10.4.2-1 図

※赤字は計算結果が変更になったもの



- 35 -

